



## تولید همزمان آب و سرما با به کار گیری سیستم تبرید فوق بحرانی دی اکسید کربن در آب شیرین کن‌های نقطی چند مرحله‌ای

آیدا فارسی<sup>۱</sup>, مهران عامری<sup>۲\*</sup>, سید محمد حجت محمدی<sup>۳</sup>

۱- دانشجوی کارشناسی ارشد، مهندسی انرژی‌های تجدیدپذیر، دانشگاه تحصیلات تکمیلی صنعتی و فناوری پیشرفته کرمان، کرمان

۲- استاد، مهندسی مکانیک، دانشگاه شهید باهنر کرمان، کرمان

۳- استادیار، مهندسی مکانیک، دانشگاه تحصیلات تکمیلی صنعتی و فناوری پیشرفته کرمان، کرمان

\* کرمان، صندوق پستی 7618868366 ameri\_mm@uk.ac.ir

### چکیده

یکی از سیستم‌های طراحی شده برای سرمایش تا دماهای بسیار پایین، سیستم تبرید تراکمی فوق بحرانی دی اکسید کربن است. حرارت دوربین از این سیستم مقدار قابل توجهی است. این امر انگیزه‌ای برای بازیابی و استفاده از این حرارت اتفاقی در سایر سیستم‌ها از جمله منبع حرارت آب آب شیرین کن نقطی چند مرحله‌ای، به منظور تولید همزمان آب و سرما نیز کاهش مصرف انرژی است. در این پژوهش آنالیز انرژی و مقایسه‌ی دو سیستم ترکیبی نوین، شامل سیستم تبرید دی اکسید کربن فوق بحرانی و دو مدل آب شیرین کن نقطی چند مرحله‌ای، شامل مدل موازی ارتقا یافته و مدل موازی به همراه چندین پیش‌گرم کن آب، انجام شده است. همچنین اثر پارامترهای مهم از جمله دمای اولپرتو، دمای محیط و فشار مبرد خروجی از کمپرسور، بر ضریب عملکرد سیستم تبرید و میزان آب شیرین تولیدی بررسی شده است. نتایج نشان داد در مر دو سیستم ترکیبی، با کاهش دمای اولپرتو یا افزایش دمای محیط، ضریب عملکرد سیستم تبرید کاهش و میزان آب شیرین شده افزایش می‌یابد. از سوی دیگر، با افزایش فشار خروجی کمپرسور تا رسیدن به نقطه‌ی بینه، افزایش ضریب عملکرد سیستم تبرید و کاهش میزان آب شیرین شده مشاهده می‌گردد. نیز می‌توان گفت که مدل آب شیرین کن تقویت یافته توانایی تولید آب شیرین بیشتری نسبت به مدل پیش‌گرم کن دارد. همچنین به منظور بهبود عملکرد سیستم ترکیبی و کاهش انرژی الکتریسته صرفی، دو روش استفاده از کمپرسور دو مرحله‌ای و منبسط کننده مورد بررسی و مقایسه قرار گرفته است. در یک شرایط کاری مشخص، در روش کمپرسور دو مرحله‌ای گرچه ضریب عملکرد سیستم تبرید ۶.2% نسبت به سیستم پایه (شامل یک کمپرسور و شیر فشارشکن) افزایش می‌یابد اما دمای آب شیرین شده ۶۰% کاهش می‌یابد. این در حالیست که در روش به کار گیری منبسط کننده، ضریب عملکرد ۲۳.۵% افزایش می‌یابد و دمای آب شیرین شده تنها کمتر از ۸% کاهش می‌یابد.

### اطلاعات مقاله

مقاله پژوهشی کامل

در راون: ۲۰ تیر ۱۳۹۵

پذیرش: ۱۹ شهریور ۱۳۹۵

ارائه در سایت: ۰۵ دی ۱۳۹۵

کلید واژگان:

تبرید فوق بحرانی دی اکسید کربن

آب شیرین کن نقطی چند مرحله‌ای

تولید همزمان

آنالیز انرژی

منبسط کننده

## Combined production of distilled water and cooling by application of Supercritical carbon dioxide refrigeration in multi-effect-desalination systems

Aida Farsi<sup>1</sup>, Mehran Ameri<sup>2\*</sup>, Seyed Mohammad Hojjat Mohammadi<sup>3</sup>

۱- Department of Energy, Institute of Science and High Technology and Environmental Sciences, Graduate University of Advanced Technology of Kerman, Kerman, Iran

۲- Department of Mechanical Engineering, Shahid Bahonar University of Kerman, Kerman, Iran

۳- Department of Energy, Institute of Science and High Technology and Environmental Sciences, Graduate University of Advanced Technology of Kerman, Kerman, Iran

\* P.O.B. 7618868366, Kerman, Iran, ameri\_mm@uk.ac.ir

### ARTICLE INFORMATION

Original Research Paper

Received 10 July 2016

Accepted 09 September 2016

Available Online 25 December 2016

#### Keywords:

Supercritical carbon dioxide refrigeration  
multi-effect-desalination  
cogeneration  
energy analysis  
expander

### ABSTRACT

Supercritical carbon dioxide refrigeration is one of the proposed systems to provide extremely low temperatures. The waste heat from the gas-cooler of such systems is noticeable. So, it can be used as a promising heat source in other systems like multi-effect-desalination system (MED), in order to provide cooling and fresh water, simultaneously, as well as noticeable reduction of power consumption. In this paper, the energy analysis and comparison of two novel combined systems are carried out. The combined systems consist of CO<sub>2</sub> refrigeration system and two MED's models, the Boosted model and the water pre-heaters (PH) model. The effect of operating parameters such as evaporator temperature, ambient temperature and compressor outlet pressure on system performances are studied as well. Results showed that for both combined systems, by decreasing the evaporator temperature or increasing the ambient temperature, the coefficient of performance (COP) and the distilled water flow rate, decreases and increases, respectively. On the other hand, increasing the compressor outlet pressure would increase COP and decrease distilled water flow rate up to an optimum point. Also, MED-Boosted could produce more fresh water compared to MED-PH. In order to decrease the power consumption of the combined system two methods are presented. In two compressors method the COP enhances 6.2% compared to the base system (consisting of one compressor and an expansion valve). However, the produced fresh water would be reduced by 60%. On the other hand, the expander method could improve the COP by 23.4%, compared to the base system, while the amount of distilled water decreases less than 8%.

Please cite this article using:

A. Farsi, M. Ameri, S. M. H. Mohammadi, Combined production of distilled water and cooling by application of Supercritical carbon dioxide refrigeration in multi-effect-desalination systems, *Modares Mechanical Engineering*, Vol. 16, No. 12, pp. 525-533, 2016 (in Persian)

برای ارجاع به این مقاله از عبارت ذیل استفاده نمایید:

## 1- مقدمه

روش اسمز معکوس نمک در فرآیند عبور پروفشار آب دریا از غشاء های نیمه تراوا، با مصرف قابل توجه الکتریسیته جدا می شود [6,5]. علی رغم این که آب شیرین کن های حرارتی انرژی بیشتری مصرف می کنند، به دلیل این که منبع انرژی آن ها گرمگام با کیفیت پایین تر است، قابلیت استفاده در صنایع مختلف را دارند. از میان آب شیرین کن های حرارتی، نوع نقطه ای چند مرحله ای به دلیل کمتر بودن فرآیند رسوب گیری اولو له های اوپراتور، مصرف انرژی کمتر و تولید ارزان تر آب نسبت به نوع تبخیر ناگهانی<sup>1</sup>، بیشتر مورد توجه قرار گرفته است [6,5]. شارون و ردی [7]، در یک مقاله موروری جامع به معروفی انواع سیستم های آب شیرین کن پرداخته اند. در این مقاله بیان شده که ترکیب پمپ های حرارتی دو اثره لیتیم برمایدی، با سیستم آب شیرین کن نقطه ای چند مرحله ای بسیار مورد توجه قرار گرفته است که در این سیستم هیبریدی آب شیرین کن از حرارت دوربری کندا سور و جاذب پمپ حرارتی به عنوان منبع انرژی استفاده می کند. جانقرا بن اصفهانی و همکاران [6] ترکیب آب شیرین کن تبخیری - پمپ گرمایی جذبی با سیکل تبرید تراکمی بخار را ارائه کرده اند که به طور همزمان آب شیرین و سرما تولید می کند. همچنین مباحث ارژی، هزینه ها و عملکرد سیستم ترکیبی را بررسی کرده اند.

کریست و همکاران [9,8] مدل جدیدی از سیستم های آب شیرین کن تحت عنوان نقطه ای چند مرحله ای<sup>2</sup> ارتفا یافته<sup>3</sup> که با منبع حرارتی محسوس (استفاده از حرارت های اتلافی سیستم ها یا منابع انرژی تجدید پذیر) راه اندازی می شود را مطرح کرده اند و مقایسه های بین آن، آب شیرین کن نقطه ای چند مرحله ای موazی به همراه چندین پیش گرمکن آب<sup>4</sup> و همچنین نوع موازی ساده، انجام داده اند. نتایج نشان داد که برای منابع حرارتی محسوس با محدوده دمایی متوسط (حدود ۸۰ °C)، مدل ارتقا یافته عملکرد بهتری را نسبت به آب شیرین کن نقطه ای چند مرحله ای موازی به همراه چندین پیش گرم کن و نوع موازی ساده دارد، به طوری که بیشتر از ۲۰% می تواند آب شیرین تولید کند، در حالی که تنها کمتر از ۲٪ افزایش در سطح تبادل مخصوص را خواهد داشت. کریست و همکاران [10] به صورت آزمایشگاهی، نمونه های از آب شیرین کن نقطه ای چند مرحله ای ارتقا یافته با منبع حرارتی محسوس را در مرکز تحقیقاتی استرالیا ساخته اند. همچنین این سیستم را با در نظر گرفتن تمامی پارامتر های تاثیرگذار، شیوه سازی و با مقادیر واقعی بدست آمده از نمونه ساخته شده مقایسه و اعتبار سنجی کرده اند.

در این مقاله ترکیب نوین دو نوع سیستم آب شیرین کن، نقطه ای چند مرحله ای ارتقا یافته و نقطه ای چند مرحله ای به همراه پیش گرم کن با سیستم تبرید فوق بحرانی دی اکسید کرین ارائه شده است. به منظور بررسی و مقایسه نحوی عملکرد دو سیستم هیبریدی، آنالیز انرژی انجام شده است. همچنین تاثیر پارامتر های کلیدی دمای اوپراتور، دمای محیط و فشار خروجی مبرد از کمپرسور بر ضریب عملکرد و میزان دمای آب شیرین شده در سیستم ترکیبی مورد بررسی قرار گرفته است. همچنین به منظور بهبود عملکرد سیستم ترکیبی و کاهش انرژی مصرفی آن، دو روش استفاده از دو کمپرسور سری و بکار گیری منبسط کننده ارائه و مورد بررسی و مقایسه قرار گرفته و سیستم با عملکرد بهتر نشان داده شده است.

## 2- عملکرد سیستم و معادلات حاکم

### 2-1- سیستم ترکیبی تبرید فوق بحرانی دی اکسید کرین و آب

<sup>1</sup> Multi-Stage-Flash desalination

<sup>2</sup> Multi-Effect-Desalination

<sup>3</sup> Boosted

<sup>4</sup> MED-Pre Heaters

انرژی نقش کلیدی در تمام فعالیت های زندگی بشر دارد. تقاضای روزافزون منجر به انتشار کنترل نشده گارهای گلخانه ای، گرم شدن کره های زمین و کاهش لایه ای ازون می شود. به همین دلایل محققان به دنبال روش های گوناگون کاهش و بهینه سازی مصرف انرژی و استفاده از مواد دوستدار محیط زیست هستند. ترکیب چند سیکل با یکدیگر به منظور کاهش مصرف انرژی و تولید همزمان، یکی از راه کارهای مناسب و موثر می باشد. از سوی دیگر، بحران کم بود آب در همه کشورها به ویژه مناطق گرمسیری، مسئله بسیار مهم و حیاتی می باشد که منجر به کارگیری انواع روش های شیرین سازی آب گردیده است.

در سال های اخیر سیکل تبرید تراکمی دی اکسید کرین فوق بحرانی به علت استفاده از مبرد طبیعی و دوستدار محیط زیست در مقابل اثرات سوء مبردهای صنعتی بر لایه ای ازون و شرایط آب و هوایی، به طور چشمگیری مورد توجه قرار گرفته و استفاده از آن ها تجاری شده است. این سیستم ها توانایی ایجاد سرما را تا دماهای بسیار پایین (30- °C) دارند. دی اکسید کرین به عنوان یک سیال غیرسمی، دوستدار محیط زیست و دارای خواص منحصر به فرد و ویژه ای از جمله ضریب انتقال حرارت بالا، توجه بسیاری از محققان را در اوایل دهه ۱۹۹۰ برای استفاده در سیکل های مختلف سیکل تبرید، به خود جلب کرده است. به علت این که سیکل تبرید فوق بحرانی دی اکسید کرین در فشارهای بالا کار می کند، مقاومت مصالح اجزای به کار رفته افزایش می یابد، از طرف دیگر حرارت دفع شده از خنک کن گاز آن مقدار قابل توجهی است.

ونگ و همکاران [1] سیستمی را پیشنهاد داده اند که با به کار گیری دو سیکل برایتون و تبرید فوق بحرانی دی اکسید کرین به طور همزمان سرمایش، گرمایش و توان تولید کند. در این تحقیق از یک مدل ریاضی برای شبیه سازی این سیستم تولید سه گانه استفاده شده و بازده انرژی و اگزرسی آن بررسی شده است. مرتضی یاری و همکاران [2] یک مدل جدید سیکل تبرید را که دارای دو اوپراتور به منظور ایجاد دو دمای سرمایشی، یکی دمای متوسط (5 تا ۱۰ °C) توسط سیکل تبرید تراکمی دی اکسید کرین فوق بحرانی را ارائه کرده اند که این سیستم از چهار سیکل تشکیل شده است. آن ها همچنین اظهار کرده اند که از حرارت خروجی خنک کن گاز سیکل تبرید تراکمی دی اکسید کرین فوق بحرانی در قسمت های مختلف سیستم ترکیبی از جمله بخش اوپراتور (بویلر) سیکل ارگانیک رانکین، ژنراتور سیستم تبرید جذبی استفاده گردد. ایتائی ما و همکاران [3] در یک مقاله موروری جامع روش های مختلف افزایش ضریب عملکرد سیستم های تبرید فوق بحرانی دی اکسید کرین، طراحی های مختلف و پارامتر های عملیاتی موثر بر بهبود عملکرد سیستم را مورد مطالعه قرار داده اند. شریعت زاده و همکاران [4] چهار ترکیب بندی متفاوت سیستم تبرید دی اکسید کرین را از دیدگاه ضریب عملکرد و بازده اگزرسی با یکدیگر مقایسه کرده اند و نشان داده اند که سیستم به همراه منبسط کننده بدون بازیاب بیشترین ضریب عملکرد و کمترین تخریب اگزرسی را دارد.

روش هایی که به صورت گسترش ده برای شیرین سازی آب به کار می روند، اسمز معکوس و آب شیرین کن های حرارتی هستند که در این نوع سیستم ها، نمک توسط فرآیند تبخیر و چگالش از آب دریا جدا می شود، در حالی که در

## 2-2- مدل سازی ترمودینامیکی سیستم ترکیبی:

- خواص ترمودینامیکی سیال های عامل در دو سیستم (دی اکسید کربن در سیستم تبرید و آب شور، بخار و آب خالص در آب شیرین کن تقطیر چند مرحله ای) با استی مشخص شود تا آنالیز انرژی سیستم هیبریدی انجام شود و میزان دبی آب شیرین شده و ضریب عملکرد سیستم تبرید مورد بررسی و محاسبه قرار گیرند. برای تحلیل انرژی سیستم هیبریدی چندین فرض در نظر گرفته شده است:
  - فرضیات مدل سازی
  - سیستم در شرایط پایا کار می کند.
  - دما و فشار محیط به ترتیب برابر  $35^{\circ}\text{C}$  و  $101.325\text{kPa}$  است.
  - غلظت نمک برای آب دریا (w<sub>X</sub>) آب شور نهایی و آب شیرین شده به ترتیب ppm 70000, 32000ppm و صفر است [11,8].
  - آب شیرین تقطیر شده از هر طبقه به صورت مایع اشباع (کیفیت صفر) خارج می شود [8].
  - از تبادل حرارت سیستم با محیط صرف نظر شده است (سیستم آدیباشیک است).
  - از افت فشار در پیکربندی و لوله کشی ها در سیستم صرف نظر شده است.
  - بیشینه دمای آب شور خروجی از اثر اول  ${}^2\text{70}^{\circ}\text{C}$  و تعداد طبقه ها (n)، 6 فرض شده است.
  - کمترین مقدار اختلاف دمای بین هر دو طبقه  ${}^3\text{3}^{\circ}\text{C}$  است [9,8].
  - دمای خروجی مبرد دی اکسید کربن از خنک کن گاز (شکل 1 و 2- نقطه 5  ${}^{\circ}\text{C}$ ) بیشتر از دمای محیط است.
  - دمای آب دریا ورودی به سیستم آب شیرین کن تقطیر چند مرحله ای برابر دمای محیط در نظر گرفته شده است.
  - نوع کمپرسور به کار رفته در سیستم تبرید، رفت و برگشتی است و بازده آیزنتروپیک آن از رابطه زیر حاصل می گردد [12]:

$$\eta_{isen} = 0.75 - 0.0335 \times PR \quad (1)$$

که در آن  $PR$  نسبت فشار خروجی به ورودی کمپرسور است.  
بازده پمپ ها 85% است.

- در آب شیرین کن تقطیر چند مرحله ای آب به میزان یکسان به تمامی طبقه ها پاشیده می شود.
- میزان سرمایش یا حرارت ورودی به اوپراتور ( $\dot{Q}_{eva}$ ) برابر  $200\text{kW}$  در نظر گرفته شده است.

## 2-3- آنالیز ترمودینامیکی

معادلات مربوط به آنالیز ترمودینامیکی را می توان به موازنه هی جرم و انرژی خلاصه کرد. موازنی کلی جرم و انرژی (قانون اول ترمودینامیک) برای شرایط پایا به ترتیب برابر است با:

$$\sum_{in} \dot{m}_{in} - \sum_{out} \dot{m}_{out} = 0 \quad (2)$$

$$\dot{Q} - \dot{W} = \sum_{in} (\dot{m} \times h) - \sum_{out} (\dot{m} \times h) \quad (3)$$

معادلات انرژی سیستم با توجه به "شکل 1 و 2":

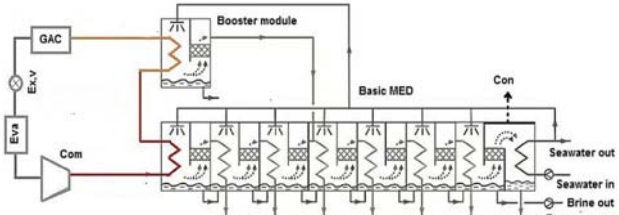
## 2-3-1- سیستم تبرید تراکمی دی اکسید کربن

<sup>2</sup> Top Brine Temperature

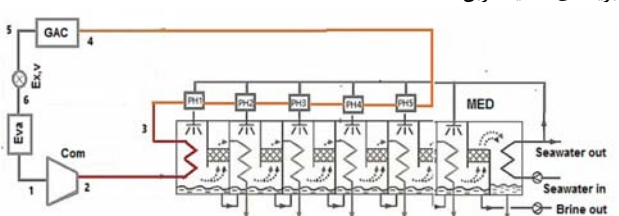
## شیرین کن تقطیر چند مرحله ای

"شکل 1" شماتیکی از سیستم پیشنهاد شده را نشان می دهد که در آن سیستم آب شیرین کن تقطیر چند مرحله ای با 6 طبقه، به همراه طبقه ای ارتقا دهنده، جایگزین بخشی از خنک کن گاز، در سیستم تبرید فوق بحرانی دی اکسید کربن شده است، تا بخشی از حرارت اضافی در خنک کن گاز به عنوان منبع حرارتی محسوس آب شیرین کن تقطیر چند مرحله ای، بازیابی شود (فرآیند 2 تا 3). لازم به ذکر است، با توجه به غیررسمی بودن دی اکسید کربن، در صورت نشست مبرد مشکلی برای شیرین کن تقطیر چند مرحله ای، بازیابی شود و به علت خواص حرارتی مناسب آن، انتقال حرارت مناسبی بین آب پاشیده شده در طبقه ای اول و دی اکسید کربن فوق بحرانی با دما و فشار بالا، صورت می گیرد. از آن جایی که دمای مبرد خروجی از طبقه ای اول همچنان بالا است (بین 55 تا  ${}^{\circ}\text{70}\text{C}$ )، می توان از آن به عنوان منبع حرارتی در طبقه ای دیگر تحت عنوان طبقه ای ارتقا دهنده <sup>1</sup> استفاده کرد تا آب شیرین بیشتر تولید شود (فرآیند 3 تا 4). بخار آب تولید شده توسط این طبقه در طبقه ای از آب شیرین کن تقطیر چند مرحله ای پایه با دمای طبقه ای ارتقا دهنده، تقطیر می شود. سپس مبرد دی اکسید کربن وارد خنک کن گاز شده و ادامه می فرآیند سیکل تبرید را طی می کند.

"شکل 2" سیستم پیشنهاد شده را در ترکیب بندی دیگر نشان می دهد که در آن به جای طبقه ای ارتقا دهنده چندین پیش گرم کن آب (5 عدد) قرار گرفته است (آب شیرین کن تقطیر چند مرحله ای به همراه پیش گرم کن). مبرد خارج شده از طبقه ای اول وارد این پیش گرم کن ها می شود و آب دریا را حداقل تا دمای طبقه مربوطه بالا می برد و سپس وارد خنک کن گاز بکار گرفته شده و طول لوله کشی ها در این مدل نسبت مدل ارتقا یافته بیشتر است و بنابر این تلفات و افت فشار این مدل هم بیشتر است.



شکل 1 شماتیک ترکیب آب شیرین کن تقطیر چند مرحله ای ارتقا یافته با سیستم تبرید دی اکسید کربن



شکل 2 شماتیک ترکیب آب شیرین کن تقطیر چند مرحله ای به همراه پیش گرم کن با سیستم تبرید دی اکسید کربن

<sup>1</sup> Booster

منبع حرارتی نشان می دهد. بنابراین معادلات موازنی انرژی در اثر اول با توجه به "شکل 4" برابر است با:

$$\dot{Q}_{\text{source}} = \dot{m}_{\text{co2}}(h_{2\text{co2}} - h_{3\text{co2}}) = \dot{m}_{\text{f1}}c_{\text{pW}}(T_1 - T_{\text{f}}) + D_1h_{\text{fg1}} \quad (10)$$

$$\dot{Q}_{\text{source}} = \dot{Q}_{\text{sensible,1}} + \dot{Q}_{\text{latent,1}} \quad (11)$$

$$\dot{Q}_{\text{sensible,1}} = \dot{m}_{\text{f1}}c_{\text{pW}}(T_1 - T_{\text{f1}}) = \dot{m}_{\text{co2}}(h_{\text{co2,prim,3}} - h_{\text{co2,3}}) \quad (12)$$

$$\dot{Q}_{\text{latent,1}} = D_1h_{\text{fg1}} = \dot{m}_{\text{co2}}(h_{\text{co2,2}} - h_{\text{co2,prim,3}}) \quad (13)$$

که در آن  $T_1$  دمای آب شور خروجی از طبقه ای اول است. دمای این طبقه و طبقه های بعدی برابر است با:

$$T_i = T_{\text{vs},i} + BPE_i \quad i = 1, 2, \dots, n \quad (14)$$

$BPE^1$  افزایش دمای جوشش آب به دلیل نمک و ناخالصی های درون آب دریا است و رابطه آن برابر است با [14,13]:

$$\begin{aligned} BPE &= AX + BX^2 + CX^3 \\ A &= 8.325 \times 10^{-2} + 1.883 \times 10^{-4}T + 4.02 \times 10^{-5}T^2 \\ B &= -7.625 \times 10^{-4} + 9.02 \times 10^{-3}T - 5.2 \times 10^{-7}T^2 \\ C &= 1.522 \times 10^{-4} - 3 \times 10^{-6}T - 3 \times 10^{-8}T^2 \end{aligned} \quad (15)$$

که در آن دما بر حسب درجه هی سلسیوس است.

طبقه دوم تا  $n$  آب شیرین کن:

$$D_i h_{\text{fgi}} = D_{i+1} h_{\text{fgi+1}} + \dot{m}_{\text{f1}} c_{\text{pW}}(T_i - T_{\text{f}}) \quad (16)$$

کندانسور آب شیرین کن:

$$D_n h_{\text{fg,n}} = (\dot{m}_{\text{f}} + \dot{m}_{\text{cw}})c_{\text{pW}}(T_{\text{sea}} - T_{\text{f}}) \quad (17)$$

کار مصرفی پمپها به ازای واحد جرم برای رساندن فشار آب شیرین تولید شده و آب شور خروجی از طبقه های فشار محیط برابر است با:

$$\dot{w}_{\text{pump}} = \frac{v_w(P_{\text{amb}} - P_w)}{\eta_{\text{pump}}} \quad (18)$$

**3-2-3- سیستم آب شیرین کن نقطه ای ارتقا یافته**

موارنه انرژی برای طبقه ای ارتقا دهنده:

$$\dot{Q}_{\text{source,B}} = \dot{m}_{\text{co2}}(h_{3\text{co2}} - h_{4\text{co2}}) = \dot{m}_{\text{fB}}c_{\text{pW}}(T_B - T_{\text{f}}) + D_B h_{\text{fgB}} \quad (19)$$

طبقه های که بخار حاصل از طبقه ای ارتقا دهنده وارد و به صورت کندانس از آن خارج می شود:

$$D_l h_{\text{fgi}} + D_B h_{\text{fg,B}} = D_{l+1} h_{\text{fgi+1}} + \dot{m}_{\text{f1}} c_{\text{pW}}(T_i - T_{\text{f}}) \quad (20)$$

**4-3-2- سیستم آب شیرین کن نقطه ای چند مرحله ای به همراه پیش گرم کن**

موازنی انرژی مبدل های حرارتی (شکل 2):

$$\dot{Q}_{\text{PHi}} = \dot{m}_{\text{co2}}(h_{3,i(\text{in})\text{co2}} - h_{3,i(\text{out})\text{co2}}) = \dot{m}_{\text{f1}}c_{\text{pW}}(T_{\text{f}} - T_{\text{f}'}) \quad (21)$$

که دمای خروجی آب از پیش گرم کن است. رابطه ضریب عملکرد مبدل حرارتی با جریان ناهمسو برابر است با:

$$\frac{\dot{Q}_{\text{PH}}}{\dot{Q}_{\text{max}}} = \varepsilon \quad (22)$$

$$\dot{Q}_{\text{max}} = C_p \min(T_{\text{co2i}} - T_{\text{f}}) \quad (23)$$

$$C_p \min = \min(c_{\text{pW}} \dot{m}_{\text{f}}, c_{\text{pco2}} \dot{m}_{\text{co2}}) \quad (24)$$

<sup>1</sup> Boiling point elevation

اوپراتور سیکل تبرید دی اکسید کربن:

$$\dot{Q}_{\text{eva}} = \dot{m}_{\text{co2}}(h_6 - h_5) \quad (4)$$

کمپرسور سیکل تبرید دی اکسید کربن:

$$\dot{W}_{\text{com}} = \dot{m}_{\text{co2}}(h_{1\text{co2}} - h_{2\text{co2}}) \quad (5)$$

خنک کن گاز سیکل تبرید دی اکسید کربن در تبادل با محیط:

$$\dot{Q}_{\text{GAC}} = \dot{m}_{\text{co2}}(h_{4\text{co2}} - h_{5\text{co2}}) \quad (6)$$

شیر فشارشکن سیکل تبرید دی اکسید کربن (فرآیند آنتالپی ثابت):

$$h_{5\text{co2}} = h_{6\text{co2}} \quad (7)$$

## 2-3-2- سیستم آب شیرین کن نقطه ای چند مرحله ای

با توجه به این که آب شور در هر طبقه، وارد طبقه ای بعد خود می شود و به عنوان منبع حرارتی کمکی، در آن طبقه گرم آزاد می کند (به شکل 1 و 2 توجه شود). در نتیجه موازنی جرم آب در حال جریان در طبقه ای اول و دوم به بعد به ترتیب به صورت معادلات (8) و (9) خواهد بود:

$$w_{\text{sw}} \cdot \dot{m}_{\text{f1}} = w_{\text{Br,1}} \cdot (\dot{m}_{\text{f1}} - D_1) \quad (8)$$

$$w_{\text{sw}} \cdot \dot{m}_{\text{f1}} + w_{\text{Br}(i-1)} \cdot \dot{m}_{\text{Br}(i-1)} = w_{\text{Br}(i)} \cdot \dot{m}_{\text{Br}(i)} \quad (9)$$

برخلاف تحلیل های مربوط به آب شیرین کن های نقطه ای چند مرحله ای موازی با منبع بخار که در آن ها بخار آب طی فرآیند تک دما چگالی ده می شود، در آب شیرین کن نقطه ای چند مرحله ای با منبع حرارتی کمکی در آب فرآیند انتقال حرارت دستخوش تغییر دما می گردد. بنابراین بایستی دمای فرآیند انتقال حرارت دستخوش تغییر دمای گردید. بنابراین محسوس منبع حرارتی طی حداقل به میزان  $\Delta T$  (معمولاً برابر 3 درجه دنظر گرفته می شود [9,8]) بیشتر از دمای جوشش آب تغذیه باشد تا فرآیند انتقال حرارت از مبرد به آب ادامه یابد. به دمای منبع حرارتی در این دما نقطه پینچ گفته می شود. "شکل 3" نحوه کلی تغییرات دمایی منبع حرارتی محسوس و آب تغذیه و همچنین نقطه پینچ را نشان می دهد.

بنابراین معادله انرژی در تاثیر اول که در آن منبع حرارتی وارد می شود توسط معادلات (10) تا (13) نوشته می شود. در واقع بخشی از خنک کن گاز سیکل تبرید دی اکسید کربن جایگزین طبقه ای اول آب شیرین کن به عنوان منبع حرارتی شده است. "شکل 4" نمایی از نحوه ورود دی اکسید کربن فوق بحرانی به طبقه ای اول آب شیرین کن و تغییرات دمایی آن را به عنوان

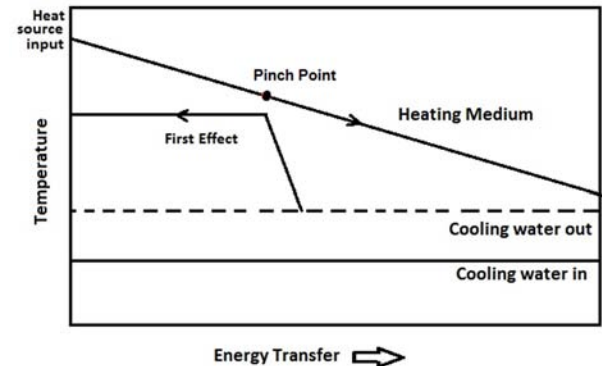


Fig. 3 Temperature profile of the Booster module and first effect of a MED vs. that of the sensible heat source.

شکل 3 پروفیل تغییرات دمای منبع حرارتی محسوس در طبقه ای اول آب شیرین کن نقطه ای چند مرحله ای

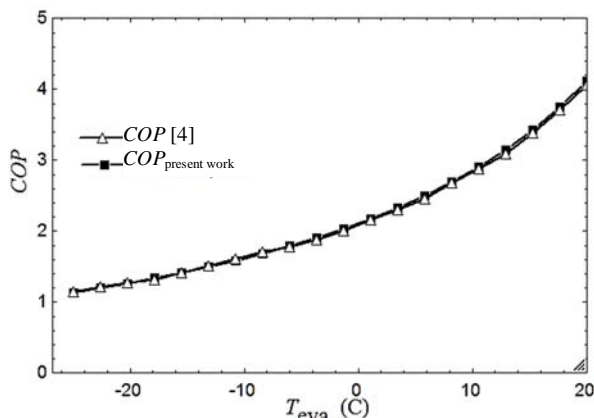


Fig. 5 Comparison of COP vs. evaporator temperature of the present simulation with those reported by Joneydi shariatzadeh [4] ( $T_{amb}=40^{\circ}C$ ,  $P_{com}=10270 \text{ kPa}$ )

شکل 5 مقایسه ضریب عملکرد پژوهش فعلی با نتایج جنیدی شریعت زاده [4]  
بر حسب دمای اوپرатор ( $T_{amb}=40^{\circ}C$ ,  $P_{com}=10270 \text{ kPa}$ )

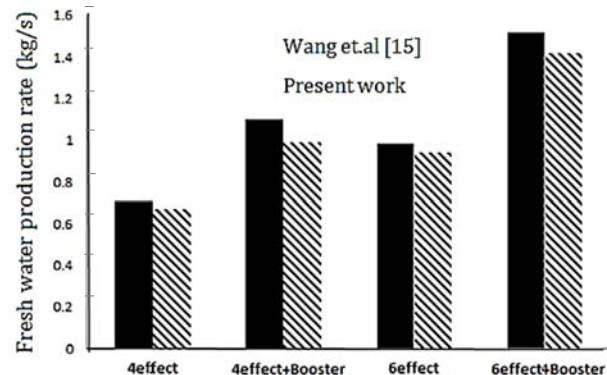


Fig. 6 Comparison of the MED's fresh water production rate of the present work with that of Wang [15] for similar working conditions  
شکل 6 مقایسه میزان آب شیرین کن تقطیر شده پژوهش فعلی با ونگ و کریست [15]، در آب شیرین کن آب شیرین کن تقطیر چند مرحله ای موادی با منبع حرارتی محسوس

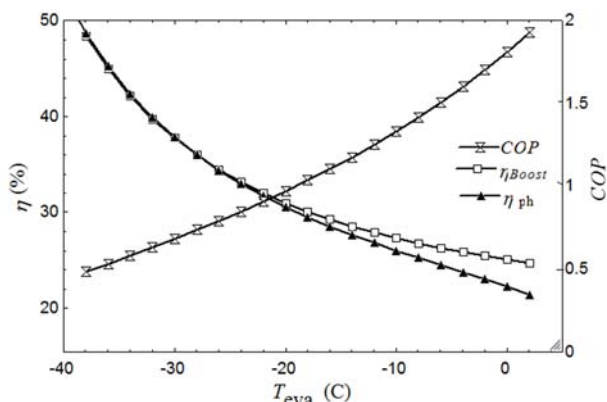


Fig. 7 Effect of the evaporator temperature on COP and Recovery ratio ( $\eta (%)$ ) ( $T_{amb}=35^{\circ}C$ ,  $P_{com}=10570 \text{ kPa}$ )

شکل 7 نمودار تغییرات ضریب عملکرد و نسبت دمای آب شیرین شده بر حسب دمای اوپرатор برای دو مدل ارتقا یافته و پیش گرم کن ( $T_{amb}=35^{\circ}C$ ,  $P_{com}=10570 \text{ kPa}$ )

از آن توسط آب شیرین کن مورد استفاده قرار می گیرد، افزایش می یابد. بنابراین ضریب عملکرد سیستم تبرید کاهش اما میزان نسبت دمای آب شیرین شده افزایش می یابد. در دمای اپراتور (-40°C تا -10°C) که به تبع آن دمای منبع حرارتی آب شیرین کن بالاتر است، دو مدل تقریباً میزان آب

## 5-3-2- راندمان سیستم

ضریب عملکرد سیستم تبرید دی اکسید کربن:

$$COP = \frac{\dot{Q}_{eva}}{\dot{W}_{com}} \quad (25)$$

نسبت دمای آب شیرین شده (%) :

$$\eta(\%) = \frac{D_t}{m_f} \times 100 \quad (26)$$

که در آن  $D_t$  ، دمای کل آب شیرین شده است.

## 3- روش حل و صحت آزمایی

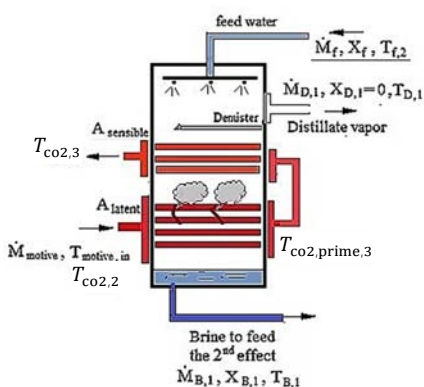
با توجه به پیچیدگی آنالیز سیستم که شامل چندین جریان و حجم کنترل است، نرم افزار EES<sup>1</sup> برای حل معادلات به کار گرفته شده است. به منظور بررسی صحت کدنویسی و نتایج و با توجه به این که چنین سیستم ترکیبی تا کنون مورد تحلیل قرار نگرفته است، جواب های بدست آمده از عملکرد دو سیستم به صورت مجزا اعتبارسنجی شده اند. برای سیستم تبرید فوق بحرانی دی اکسید کربن نتایج با جنیدی شریعت زاده و همکاران [4] مقایسه شده است. برای سیستم آب شیرین کن تقطیر چند مرحله ای نتایج با ونگ، کریست و همکاران [15] مقایسه گردیده است. نتایج مقایسه در "شکل های 5 و 6" آورده شده است.

"شکل 5" مقایسه ای بین ضریب عملکرد سیستم بدست آمده از پژوهش فعلی و [4] را نشان می دهد که حداقل 8.6% خطا مشاهده شده است. همچنین در "شکل 6" بیشترین میزان خطا در دمای مشاهده در شرایط یکسان کاری در پژوهش فعلی و [15] ، 3% مشاهده گردید.

## 4- نتایج و بحث بر روی نتایج

از آن جایی که پارامترهایی از قبیل دمای اوپرатор ( $T_{eva}$ )، دمای محیط ( $T_{amb}$ ) و فشار خروجی از کمپرسور ( $P_{com}$ ) بیشترین تاثیر را بر عملکرد سیستم هیبریدی دارند، بنابراین در یک مطالعه ای پارامتری میزان تاثیر هر کدام از این عوامل بر عملکرد سیستم مورد مطالعه قرار گرفته است.

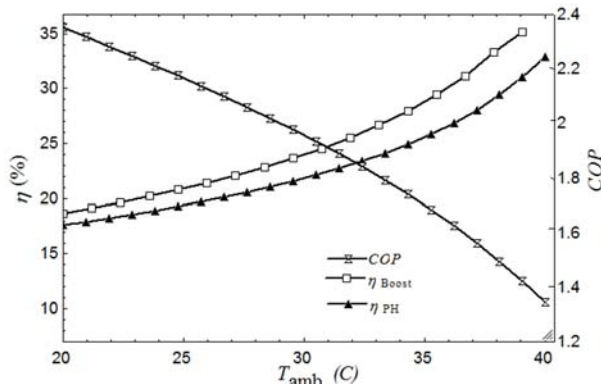
"شکل 7" تغییرات ضریب عملکرد و نسبت آب شیرین شده ( $\eta$ ) با توجه به دمای اوپرатор را نشان می دهد. با توجه به معادلات (3)-(8) و (11) و به ازای مقدار مشخص سرمایش ( $\dot{Q}_{eva}=200 \text{ kw}$ ) ، با کاهش دمای اوپرатор میزان توان مصرفی کمپرسور افزایش و در نتیجه حرارت اضافی سیستم تبرید، که بخشی



شکل 4 شماتیکی از ورود منبع حرارتی محسوس (دی اکسید کربن فوق بحرانی) به طبقه ای اول آب شیرین کن تقطیر چند مرحله ای

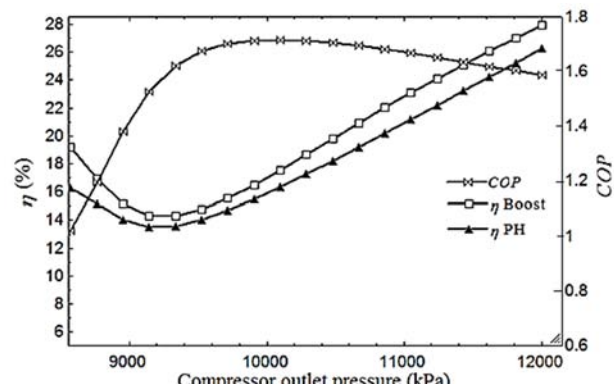
<sup>1</sup> Equation Engineering Solver

از گازهای آلاینده و گلخانه ای مانند دی اکسید کربن (به ترتیب به میزان 33032.2 و 28267 تن) وارد محیط زیست می شود. بنابراین سیستم های ارائه شده تولید همزمان آب و سرما، نقش مهمی در کاهش آلودگی های زیست محیطی خواهد داشت.



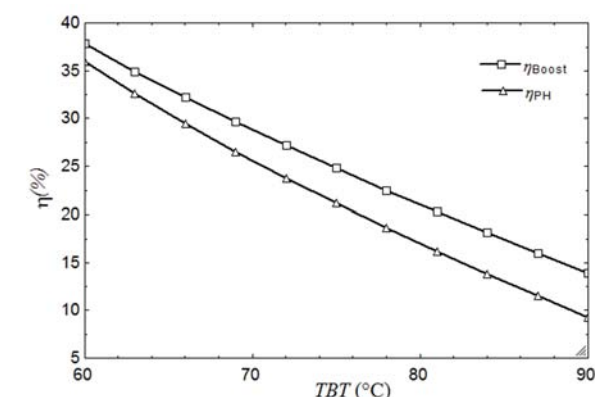
شکل 8 نمودار تغییرات ضریب عملکرد و نسبت دی آب شیرین شده بر حسب دمای محیط برای دو مدل ارتقا یافته و پیش گرم کن ( $T_{eva}=-2^{\circ}\text{C}$ ,  $P_{com}=10570\text{kPa}$ )

شکل 8 نمودار تغییرات ضریب عملکرد و نسبت دی آب شیرین شده بر حسب دمای محیط برای آب شیرین شده افزایش می باشد و ضریب عملکرد سیستم تبرید دی اکسید کربن فوق بحرانی کاهش می باشد. همچنین عملکرد آب شیرین کن ارتقا دهنده با افزایش دمای محیط بهتر است و نسبت دی آب شیرین بیشتری تولید می کند.



شکل 9 نمودار تغییرات ضریب عملکرد و نسبت دی آب شیرین شده بر حسب فشار خروجی از کمپرسور دو مدل ارتقا یافته و پیش گرم کن ( $T_{eva}=-2^{\circ}\text{C}$ ,  $T_{amb}=35^{\circ}\text{C}$ )

شکل 9 نمودار تغییرات ضریب عملکرد و نسبت دی آب شیرین شده بر حسب فشار خروجی از کمپرسور دو مدل ارتقا یافته و پیش گرم کن ( $T_{eva}=-2^{\circ}\text{C}$ ,  $T_{amb}=35^{\circ}\text{C}$ )



شکل 10 اثر تغییر دمای آب شورخروجی از طبقه ای اول بر میزان نسبت دی آب شیرین شده (%) در دو مدل ارتقا یافته و پیش گرم کن در شرایط کاری مشخص (سیستم تبرید  $T_{eva}=-2^{\circ}\text{C}$ ,  $T_{amb}=35^{\circ}\text{C}$ ,  $P_{com}=10570\text{kPa}$ )

شکل 10 اثر تغییر دمای آب شورخروجی از طبقه ای اول بر میزان نسبت دی آب شیرین شده (%) در دو مدل ارتقا یافته و پیش گرم کن در شرایط کاری مشخص سیستم تبرید (آب شیرین شده (%) در دو مدل ارتقا یافته و پیش گرم کن در شرایط کاری مشخص  $T_{eva}=-2^{\circ}\text{C}$ ,  $T_{amb}=35^{\circ}\text{C}$ ,  $P_{com}=10570\text{kPa}$ )

شیرین یکسانی را تولید می کنند ولی با افزایش دمای اوراپاتور (10-تا  $2^{\circ}\text{C}$ ) که به تبع آن دی آب ورودی کمتر است، مدل ارتقا یافته قادر به تولید آب شیرین بیشتری است. چرا که در شرایطی که میزان منبع حرارتی کم است، مدل ارتقا یافته توانایی بیشتری در استفاده از پتانسیل منبع حرارتی دارد. لازم به ذکر است که که ضریب عملکرد در دو سیستم ترکیبی به دلیل شرایط مشابه، روند همسانی دارد.

"شکل 8" تغییرات ضریب عملکرد و نسبت آب شیرین شده (%) بر حسب تغییرات دمای محیط نشان می دهد. با افزایش دمای محیط برای تولید سرمایش مشخص (200kW)، میزان دی مبرد افزایش و در نتیجه توان مصرفی کمپرسور بیشتر می شود. بنابراین حرارت اталافی سیستم تبرید و مقدار دی آب شیرین شده، افزایش می باشد و ضریب عملکرد سیستم تبرید دی اکسید کربن فوق بحرانی کاهش می باشد. همچنین عملکرد آب شیرین کن ارتقا دهنده با افزایش دمای محیط بهتر است و نسبت دی آب شیرین بیشتری تولید می کند.

"شکل 9" اثر تغییر فشار خروجی کمپرسور را بر دی آب شیرین شده و ضریب عملکرد سیستم تبرید نشان می دهد. با توجه به این که در دمای اوپرатор  $2^{\circ}\text{C}$ - و دمای محیط  $35^{\circ}\text{C}$  فشار بهینه حدود 10000kPa است، میزان توان مصرفی کمپرسور کمترین مقدار است که بیشترین ضریب عملکرد در این شرایط حاصل می شود. بنابراین با افزایش فشار تا فشار بهینه علی رغم افزایش دمای خروجی از کمپرسور، به دلیل کاهش محسوس دی مبرد دی اکسید کربن، میزان حرارت اatalافی از سیستم تبرید کاهش می باشد، بنابراین در فشار بهینه خروجی از کمپرسور کمترین میزان آب شیرین و بیشترین ضریب عملکرد را خواهیم داشت. همچنین با افزایش فشار خروجی کمپرسور، مدل ارتقا یافته همواره درصد آب بیشتری نسبت به مدل پیش گرم کن، تولید می کند.

"شکل 10" تاثیر تغییر دمای طبقه ای اول تحت شرایط کاری مشخص سیستم تبرید (ضریب عملکرد ثابت و برابر 1.42)، برای دو سیستم ترکیبی را نشان می دهد. شیرین کن ارتقا یافته و پیش گرم کن در سیستم ترکیبی را نشان می دهد. در دمای ثابت مبرد دی اکسید کربن ورودی به طبقه ای اول، با افزایش دمای این طبقه ای اول، اختلاف دمای بین منبع حرارتی و دمای آب شور خروجی از طبقه ای اول و به تبع آن میزان حرارت تولید شده در طبقه ای اول کاهش می باشد، در نتیجه میزان دی آب شیرین تولیدی کاهش می باشد.

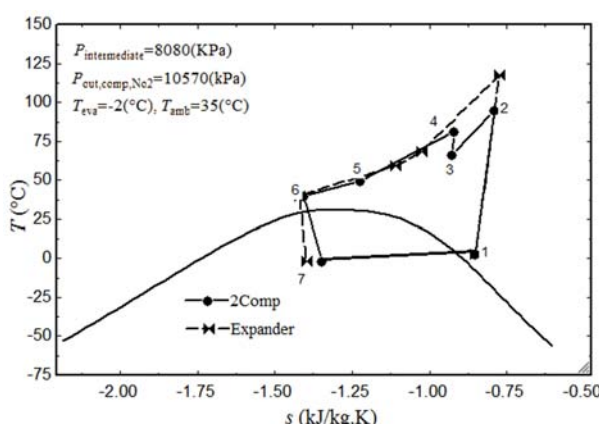
از آن جا که در این تحقیق مبرد دی اکسید کربن به عنوان منبع حرارتی غیرسمی نوین وارد آب شیرین کن می گردد، با توجه به "شکل های 7 تا 9"، نسبت دی آب شیرین شده (%) (مناسبی (بین 15% تا 50%) را آرائه نموده است. به گونه ای که در سیستم های آب شیرین کن نقطی چند مرحله ای مشابه که با بخار راه اندازی می شوند، نسبت دی آب شیرین شده (%) (بین 25% تا 60%) تغییر می کند [16].

جدول 1 میزان مصرف انرژی در دو سیستم تبرید دی اکسید کربن فوق بحرانی و آب شیرین کن نقطی چند مرحله ای ارتقا یافته و آب شیرین کن نقطی چند مرحله ای به همراه پیش گرم کن به صورت تولید یگانه و ترکیب این دو سیستم (سیستم دوگانه) را نشان می دهد. همان طور که مشاهده می شود سیستم های ترکیبی مذکور به ترتیب باعث صرفه جویی در مصرف انرژی به میزان 56.1% و 59% می گردد. همچنین با توجه به این که در در سیستم های دوم و سوم جدول 1، سوخت بیو دیزل (مانند متان) به منظور تولید بخار برای راه اندازی آب شیرین کن مصرف می شود، میزان قابل توجهی

"شکل 12" نمودار تغییرات دما بر حسب آنتروپی دو ترکیب بندی سیستم تبرید دی اکسید کربن با دو کمپرسور به همراه آب شیرین کن نقطیز چند مرحله ای ارتقا یافته و تبرید دی اکسید کربن با منبسط کننده با همان نوع آب شیرین کن را نشان می دهد. با توجه به "شکل 12"، گرچه روش تراکم دو مرحله ای باعث کاهش توان مصرفی کمپرسور و به تبع آن بهبود ضریب عملکرد سیستم ترکیبی می شود، اما به دلیل کاهش قابل توجه دامهای خروجی از کمپرسورها (کمپرسور فشار بالا و فشار پایین)، مقدار آب شیرین تولیدی به میزان زیادی کاهش می یابد. اما با به کار گیری منبسط کننده، علاوه بر این که درصدی از توان مصرفی کمپرسور تامین می گردد و ضریب عملکرد ارتقا می یابد، تاثیری بر دمای خروجی مبرد از کمپرسور ندارد. بنابراین آب شیرین تولید شده دستخوش تغییرات قابل توجهی نمی شود.

"شکل 13" نمودار تغییرات فشار خروجی از کمپرسور در دو سیستم بهبود یافته (نقشه 2 در "شکل 11-a") و نقطه 4 در "شکل 11-b") و همچنین سیستم پایه (سیستم ترکیبی به همراه یک کمپرسور و شیر فشارشکن - "شکل 1") را بر حسب ضریب عملکرد و نسبت دبی آب شیرین شده ((η)) نشان می دهد. همان گونه که گفته شد، استفاده از دو کمپرسور سری (سیستم a) باعث کاهش مصرف الکتریسیته می گردد در نتیجه به ازای میزان سرمایش معین (200kPa)، ضریب عملکرد در سیستم a به طور میانگین 6.2% نسبت به سیستم پایه افزایش می یابد. اما به دلیل کاهش محسوس دمای خروجی از دو کمپرسور فشار بالا و پایین، میزان نسبت دبی آب شیرین تولید شده ((η))، به طور متوسط 60% نسبت به سیستم پایه کاهش می یابد. این در حالیست که در سیستم b (منبسط کننده)، ضریب عملکرد به طور متوسط 23.5% نسبت به سیستم پایه افزایش می یابد و تنها کمتر از 8% نسبت به سیستم پایه کاهش می یابد.

"شکل 14" اثر دمای اوپرатор بر ضریب عملکرد سیستم تبرید و نسبت دبی آب شیرین شده در آب شیرین کن موازی ارتقا یافته را در سه ترکیب بندی متفاوت نشان می دهد. با افزایش دمای اوپرатор در سیستم تراکم دو مرحله ای (سیستم 11-a)، منجر به افزایش ضریب عملکرد سیستم پایه تا حداقل 9.2% و کاهش نسبت دبی آب شیرین شده تا حداقل 42% می شود. همان گونه که در "شکل 14" مشاهده می شود، ضمن این که میزان کاهش نسبت دبی آب شیرین شده در دامهای به نسبت بالاتر اوپرатор (جایی که دمای ورودی به طبقه اول و میزان حرارت اтلافی بسیار کاهش می یابد)،



شکل 12 تغییرات دما بر حسب آنتروپی (T-S) در دو مدل بهبود یافته (دو کمپرسور و منبسط کننده)

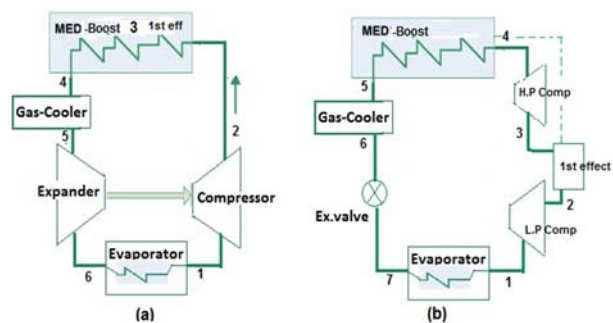
جدول 1 انرژی مصرفی در سیستمها (ظرفیت سرمایش 200kW، دمای اوپرатор 2°C، دمای محیط 35°C و فشار خروجی از کمپرسور (20570kPa)

Table 1 Comparison of energy consumption of different systems ( $T_{eva} = -2^{\circ}\text{C}$ ,  $T_{amb} = 35^{\circ}\text{C}$ ,  $P_{com} = 10570\text{kPa}$ )

سیستم	انرژی مصرفی (kW)	توضیح
تبیرید دی اکسید کربن فوق بحرانی	153.7	آب شیرین کن نقطیز چند مرحله ای ارتقا یافته ( $\eta = 28.8\%$ )
آب شیرین کن نقطیز چند مرحله ای به همراه پیش گرم کن ( $\eta = 25.6\%$ )	120	آب شیرین کن نقطیز چند مرحله ای به همراه پیش گرم کن ( $\eta = 25.6\%$ )
ترکیب تبیرید دی اکسید کربن فوق بحرانی و آب شیرین کن نقطیز چند مرحله ای ارتقا یافته ( $\eta = 28.8\%$ )	105.7	ترکیب تبیرید دی اکسید کربن فوق بحرانی و آب شیرین کن نقطیز چند مرحله ای ارتقا یافته ( $\eta = 28.8\%$ )
ترکیب تبیرید دی اکسید کربن فوق بحرانی آب شیرین کن نقطیز چند مرحله ای به همراه پیش گرم کن ( $\eta = 25.6\%$ )	153.7	ترکیب تبیرید دی اکسید کربن فوق بحرانی آب شیرین کن نقطیز چند مرحله ای به همراه پیش گرم کن ( $\eta = 25.6\%$ )

#### 5- به کار گیری منبسط کننده<sup>1</sup> در سیستم هیبریدی ارائه شده

از آن جایی که الکتریسیته تنها انرژی مصرفی سیستم ترکیبی ارائه شده است، به منظور کاهش مصرف الکتریسیته در کمپرسور سیستم تبیرید، بررسی های نظری و عملی بسیاری از جمله تراکم دو مرحله ای [17] و استفاده از منبسط کننده (قطعه ای که بخشی از توان مصرفی کمپرسور را تامین می نماید) [19,18] صورت گرفته است. "شکل 11" نمایی از دو ترکیب بندی متفاوت، یکی سیستم ترکیبی آب شیرین کن نقطیز چند مرحله ای ارتقا یافته و تبیرید دی اکسید کربن به همراه منبسط کننده (11-a) و دیگری همان نوع آب شیرین کن و تبیرید دی اکسید کربن به همراه دو کمپرسور فشار بالا و فشار پایین (11-b)، را نشان می دهد. لازم به ذکر است که در روش تراکم دو مرحله ای (شکل 11-b)، طبقه ای اول به عنوان خنک کن میانی است. همچنین مبرد با فشار مشابه با تراکم یک مرحله ای از کمپرسور دوم (فشار بالا) خارج شده و وارد طبقه ای ارتقاده نده آب شیرین کن نقطیز چند مرحله ای می شود. ضمن این که فشار میانی توسط نرم افزار EES به گونه ای بهینه شده که ضریب عملکرد سیستم سرمایشی دی اکسید کربن فوق بحرانی به بیشینه مقدار خود بررسد.



شکل 11 شماتیک دو سیستم تولید دوگانه شامل آب شیرین کن نقطیز چند مرحله ای

ارتقا یافته و (a) سیستم تبیرید دی اکسید کربن به همراه منبسط کننده (b) سیستم تبیرید دی اکسید کربن به همراه دو کمپرسور

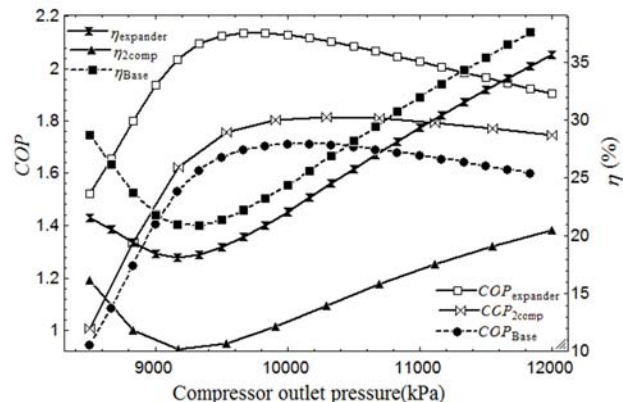
<sup>1</sup> Expander

آب شیرین تولید شده 28.8%، بازگشت سرمایه نسبت به سیستم پایه، مدت زمان کوتاه 0.023 سال (در بیشترین ضریب عملکرد) و 0.35 سال (در کمترین ضریب عملکرد) خواهد بود، بنابراین با تامین بخشی از الکتروسیسته توسط منبسط کننده، در مصرف برق صرفه جویی قابل ملاحظه ای حاصل می شود، بنابراین استفاده این قطعه بسیار اقتصادی و سودمند است.

## 6- جمع بندی

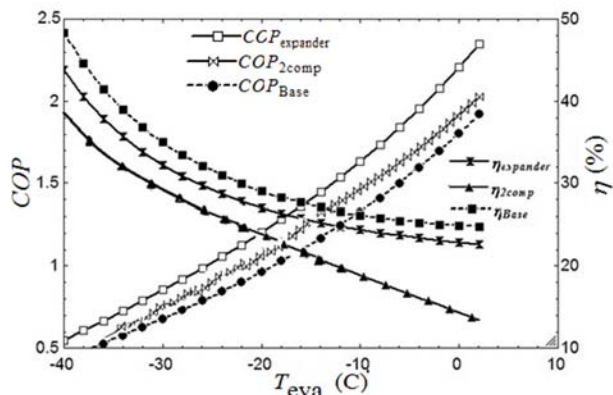
در این پژوهش دو سیستم ترکیبی نوین شامل تبرید دی اکسید کربن فوق بحرانی و دو مدل آب شیرین کن نقطه ای چند مرحله ای ارتقا یافته و پیش گرم کن، به منظور تولید همزمان آب و سرما، مورد مطالعه قرار گرفت. تحلیل و بررسی ترمودینامیکی برخی از پارامترهای موثر کرد تا درک بهتری از تاثیر این پارامترها بر ضریب عملکرد سیستم تبرید و نسبت دبی آب شیرین شده بدست آید. نتایج نشان داد در دو سیستم ترکیبی، مدل آب شیرین کن ارتقا یافته نسبت به مدل پیش گرم کن، آب شیرین بیشتری تولید می کند و این برتری عملکرد طبقه ای ارتقاده نده را نسبت به پیش گرم کن های آب نشان می دهد. ضمن این که مصرف انرژی در دو سیستم ترکیبی مذکور به ترتیب 56.1% و 59% نسبت به سیستم ها در حالت تولید یگانه، کاهش می یابد. همچنین دو روش استفاده از کمپرسور دو مرحله ای و منبسط کننده به منظور بهبود عملکرد سیستم مورد بررسی و مقایسه قرار گرفتند. خلاصه ای نتایج به شرح زیر است:

- با افزایش دمای اوپرатор و کاهش دمای محیط، ضریب عملکرد به ازای مقدار مشخص سرمایش، افزایش و میزان آب تولیدی به علت کاهش میزان حرارت در طبقه ای اول آب شیرین کن، کاهش می یابد. از آن جایی که دی اکسید کربن به عنوان منبع حرارتی نوین و غیرسمی وارد آب شیرین کن می شود، نسبت دبی آب شیرین شده ( $\eta$ ) بسیار مناسبی (بین 15% تا 50%) نسبت به سیستم های آب شیرین کن نقطه ای چند مرحله ای مشابه که با بخار راه اندازی می شوند (متوجه  $\eta$  بین 25% تا 60%) را ارائه نموده است.
- با افزایش فشار کمپرسور بعد از مقدار بهینه خود، مقدار آب شیرین تولید شده به علت افزایش میزان حرارت، با شبیه زیاد افزایش و ضریب عملکرد کاهش می یابد. ضمن این که بیشترین ضریب عملکرد، در فشار بهینه 10000kPa است، جایی که دبی آب شیرین شده کمترین مقدار خود را دارد.
- در یک شرایط کاری مشخص سیستم تبرید، با افزایش دمای طبقه ای اول، اختلاف دمای بین منبع حرارتی و دمای آب شور خروجی از طبقه ای اول کاهش می یابد، بنابراین میزان میزان دبی آب شیرین تولیدی کاهش می یابد.
- در روش کمپرسور دو مرحله ای با افزایش فشار کمپرسور فشار بالا، گرچه ضریب عملکرد سیستم تبرید، افزایش دمای طبقه ای (شامل یک کمپرسور و شیر فشارشکن) افزایش می یابد اما نسبت دبی آب شیرین شده به دلیل کاهش زیاد دمای ورودی دی اکسید کربن به آب شیرین کن، تا 60% کاهش می یابد. در حالی که در روش استفاده از منبسط کننده، ضریب عملکرد 23.5% افزایش می یابد و نسبت دبی آب شیرین شده تنها کمتر از 8% کاهش می یابد.
- با افزایش دمای اوپرатор ضریب عملکرد و نسبت دبی آب شیرین شده، در ترکیب بندی کمپرسور دو مرحله ای نسبت به سیستم پایه به ترتیب حداقل 9.2% افزایش و 42% کاهش می یابد. در ترکیب بندی استفاده از



شکل ۱۳ تغییرات فشار خروجی از کمپرسور بر حسب ضریب عملکرد و نسبت دبی آب شیرین شده (( $\eta$ )) در سه سیستم مختلف

با توجه به کار گیری منبسط کننده (b) ضریب عملکرد و نسبت دبی آب شیرین شده نسبت به سیستم پایه به ترتیب 11% افزایش و 6% کاهش می یابد.



شکل ۱۴ تغییرات ضریب عملکرد و نسبت دبی آب شیرین شده (( $\eta$ )) بر حسب دمای اوپرатор در سه سیستم مختلف

بیشتر است. در سیستم به کار گیری منبسط کننده (b) ضریب عملکرد و نسبت دبی آب شیرین شده نسبت به سیستم پایه به ترتیب 11% افزایش و 6% کاهش می یابد.

با توجه به عملکرد مناسب تر سیستم ترکیبی به همراه منبسط کننده نسبت به دو سیستم دیگر، از آن جایی که جزء منبسط کننده یک قطعه ای به نسبت گرانی است. گرچه ابعاد این جزء بین 2 تا 8 برابر کوچکتر از کمپرسور است، اما به دلیل فناوری ساخت پیچیده تر آن، قیمتی یکسان با کمپرسور دارد که در این تحقیق برای 100US(\$). در نظر گرفته شده است [20]. در این قسمت بازگشت سرمایه این سیستم (a) نسبت به سیستم پایه، بررسی شده است. رابطه ای بازگشت سرمایه به کار گیری منبسط کننده برابر است با:

$$\text{pay back period(year)} = \frac{\text{expander retail price (US$))}}{\text{power saving (kW)} \times 2000(\text{hr/yr}) \times \text{tariff(US$))}} \quad (27)$$

که در آن فرض شده است که سیستم به میزان 2000 ساعت در سال کار کند. همچنین با توجه به این که نرخ تعرفه بندی الکتروسیسته مصرفی در کشورهای مختلف متفاوت است، به منظور ارائه استانداردی از این بررسی، نرخ تعرفه بندی براساس دلار آمریکا (یا هزار 1kW مصرف برق، 0.0965US\$). گزارش شده است [21, 20]. بنابراین در یک شرایط مشخصی از عملکرد سیستم ترکیبی a، شامل فشار خروجی کمپرسور 10570kPa و نسبت دبی

- 2013.
- [4] O. J. Shariatzadeh, S. S. Abolhassani, M. Rahmani, M. Z Nejad, Comparison of transcritical CO<sub>2</sub> refrigeration cycle with expander and throttling valve including/excluding internal heat exchanger: Exergy and energy points of view, *Applied Thermal Engineering*, Vol. 93, pp. 779-787, 2016.
- [5] J. Wang, P. Zhao, X. Niu, Y. Dai, Parametric analysis of a new combined cooling, heating and power system with transcritical CO<sub>2</sub> driven by solar energy, *Applied Energy*, Vol. 94, pp. 58-64, 2012
- [6] I. J. Esfahani, Y. T. Kang, C. Yoo, A high efficient combined multi-effect evaporation-absorption heat pump and vapor-compression refrigeration part 1: Energy and economic modeling and analysis, *Energy*, Vol. 75, pp. 312-326, 2014.
- [7] H. Sharon, K.S. Reddy, A review of solar energy driven desalination technologies. *Renewable and Sustainable Energy Reviews*, Vol. 41, No. 7, pp.1080-118, 2015.
- [8] A.Christ, K. Regenauer-Lieb, H. T. Chua, Boosted Multi-Effect Distillation for sensible low-grade heat sources: A comparison with feed pre-heating Multi-Effect Distillation. *Desalination*, Vol. 366, pp. 32-46, 2015.
- [9] A.Christ, K. Regenauer-Lieb, H. T. Chua. Thermodynamic optimisation of multi effect distillation driven by sensible heat sources, *Desalination*,Vol. 336, pp. 160-167, 2014.
- [10] A.Christ, K. Regenauer-Lieb, H. T. Chua. Application of the Boosted-MED process for low-grade heat sources—A pilot plant, *Desalination*,Vol. 366, No.17, pp. 47-5, 2015.
- [11] H. T. El-Dessouky, H. M. Ettouney, F. Mandani. Performance of parallel feed multiple effect evaporation system for seawater desalination. *Applied Thermal Engineering*, Vol. 20, No.4, pp. 1679-1706, 2000.
- [12] A. S. H. R. A. E. Handbook, HVAC systems and equipment. *American Society of Heating, Refrigerating, and Air Conditioning Engineers*, Atlanta, GA, 1996.
- [13] M. H. Sharqawy, J. H. Lienhard, S. M. Zubair, Thermophysical properties of seawater: a review of existing correlations and data. *Desalination and Water Treatment*, Vol. 16, No. 2, pp. 354-380, 2010.
- [14] I. S. Al-Mutaz, I. Wazeer, Comparative performance evaluation of conventional multi-effect evaporation desalination processes, *Applied Thermal Engineering*, Vol. 73, pp. 1194-1203, 2014.
- [15] X. Wang, A. Christ, K. Regenauer-Lieb, K. Hooman&H. T. Chua. Low grade heat driven multi-effect distillation technology. *International Journal of Heat and Mass Transfer*, Vol. 54,pp. 5497-5503, 2011.
- [16] H. T. El-Dessouky, H. M. Ettouney, *Fundamentals of salt water desalination*, PP. 151-211, New York, Elsevier, 2002.
- [17] J. Sarkar, N. Agrawal, Performance optimization of transcritical CO<sub>2</sub> cycle with parallel compression economization, *International Journal of Thermal Sciences*, Vol. 49(5), pp. 838-843, 2010.
- [18] J. L. Yang, Y. T. Ma, M. X. Li, H. Q. Guan, Exergy analysis of transcritical carbon dioxide refrigeration cycle with an expander, *Energy*, Vol. 30(7), No. 5, pp. 1162-1175, 2005.
- [19] S. Singh, M. S. Dasgupta, Evaluation of research on CO<sub>2</sub> transcritical work recovery expander using multi attribute decision making methods, *Renewable and Sustainable Energy Reviews*, Vol. 59, pp. 119-129, 2016.
- [20] A. Subiantoro, K. T. Ooi, Economic analysis of the application of expanders in medium scale air-conditioners with conventional refrigerants, R1234yf and CO<sub>2</sub>, *International Journal of Refrigeration*, Vol. 36(5) , No. 2, pp. 1472-1482, 2013.
- [21] Energy, U. S. Annual energy review 2009, pp. 19-53, US, US Energy Information Administration, 2010.

منبسط کننده، ضریب عملکرد و نسبت دبی آب شیرین شده نسبت به سیستم پایه به ترتیب 11% افزایش و 6% کاهش می‌یابد. بنابراین این ترکیب‌بندی نسبت به کمپرسور دو مرحله‌ای و سیستم پایه عملکرد بهتری دارد. ضمن این که بازگشت سرمایه‌ی این قطعه‌ی به نسبت گران با توجه به کاهش قابل توجه مصرف الکتریسیته، مدت زمان کوتاهی است و به کارگیری آن کاملاً اقتصادی است.

## 7- فهرست عالئم

kg/s	Br	دبی خروجی آب شور،
kW/kg°C	Cp	ظرفیت حرارتی ویژه در فشار ثابت،
kg/s	D	دبی آب شیرین شده ،
kJ/kg	h	آنالپی ،
kg/s	m	دبی ،
kPa	P	فشار،
پیش گرم کن	PH	پیش گرم کن
kW	Q	نرخ انتقال حرارت.
°C	T	دما، ،
kW	W	توان مصرفی،
ppm	w	غلظت شوری آب دریا،
عالئم یونانی		
(m <sup>3</sup> ) <sup>-1</sup>	v	حجم مخصوص
%	η	نسبت دبی آب شیرین شده،
زیرنویس		
کمپرسور	Com	کمپرسور
کندانسور آب شیرین کن	Con	کندانسور آب شیرین کن
آب خنک کننده در کندانسور آب شیرین کن	cw	آب خنک کننده در کندانسور آب شیرین کن
اوپراتور	eva	اوپراتور
آب تغذیه پاشیده شده به طبقه‌ها	f	آب تغذیه پاشیده شده به طبقه‌ها
خنک کن گاز	GAC	خنک کن گاز
شماره طبقه‌ی آب شیرین کن	i	شماره طبقه‌ی آب شیرین کن
آب دریا	sw	آب دریا
بخار تولید شده در طبقه‌های آب شیرین کن	vs	بخار تولید شده در طبقه‌های آب شیرین کن

## 8- مراجع

- [1] J. Wang, P. Zhao, X. Niu, Y. Dai. Parametric analysis of a new combined cooling, heating and power system with transcritical CO<sub>2</sub> driven by solar energy, *Applied Energy*, Vol. 94, No. 6, pp. 58-64, 2012.
- [2] M. Yari, A. S. Mehr, S. M. S. Mahmoudi, Thermodynamic analysis and optimization of a novel dual-evaporator system powered by electrical and solar energy sources, *Energy*, Vol. 61, No. 3, pp. 646-656, 2013.
- [3] Y. Ma, Z. Liu, H. Tian, A review of transcritical carbon dioxide heat pump and refrigeration cycles, *Energy*, Vol. 55, pp. 156-172,